

# Étude et implémentation d'un algorithme de deep learning pour la détection d'anomalies dans des logs applicatifs

Emna Merdessi, Sarra Hamdi, Mouadh Kouki IOT3B

## Introduction

Dans le cadre du Projet de Fin d'Année (PFA), je développe **SurveillAPI**, une solution intelligente de surveillance des API. Après discussion avec mes binômes, nous avons convenu de travailler sur l'une des **perspectives principales** de ce projet : la **détection d'anomalies par le machine learning**, l'**export des résultats en CSV** et une **future surveillance en temps réel**. Le dataset utilisé est un **export réel** issu d'une base **MongoDB**, contenant des logs applicatifs authentiques.

### 1. Choix de l'algorithme

Nous retenons l'**Autoencoder**, modèle de **deep learning non supervisé** non vu en classe, adapté aux données non étiquetées et de grande dimension.

### 2. Principe de l'Autoencoder

L'Autoencoder comprend un **encodeur** qui compresse l'entrée vers un espace latent réduit (bottleneck) et un **décodeur** qui reconstruit l'origine. Une **anomalie** est signalée si l'erreur de reconstruction dépasse un seuil (voir figure ??).

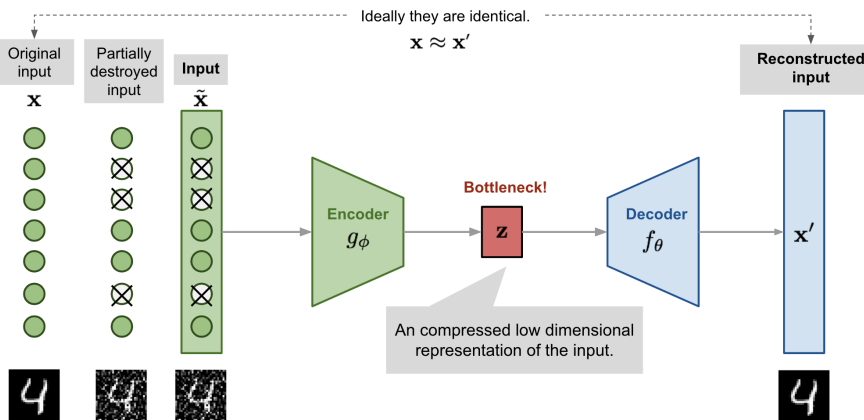


FIGURE 1 – Architecture générale d'un Autoencoder

### 3. Dataset et nature du problème

Export MongoDB de **577 logs**; après encodage One-Hot : **605 variables**.  
**Nature** : apprentissage **non supervisé**, détection d'anomalies.

## 4. Implémentation

### 4.1. Pré-traitement

Suppression des identifiants uniques, encodage One-Hot, imputation, normalisation Min-Max.

### 4.2. Variables

**Observées** : 605 variables pré-traitées ; **expliquée** : reconstruction du log lui-même.

### 4.3. Partition

80 % apprentissage, 20 % test.

### 4.4. Architecture

Sequential : Dense(16)→ReLU → Dense(8)→ReLU → Dense(4) (*bottleneck*) → Dense(8)→ReLU → Dense(16)→ReLU → Dense(605).

**Paramètres** : 20 337.

Model: "sequential"		
Layer (type)	Output Shape	Param #
dense (Dense)	(None, 16)	9,696
dense_1 (Dense)	(None, 8)	136
dense_2 (Dense)	(None, 4)	36
dense_3 (Dense)	(None, 8)	48
dense_4 (Dense)	(None, 16)	144
dense_5 (Dense)	(None, 605)	10,285

Total params: 20,337 (79.44 KB)  
Trainable params: 20,337 (79.44 KB)  
Non-trainable params: 0 (0.00 B)

### 4.5. Entraînement

50 epochs, loss = MAE; reconstruction utilisée pour calculer l'erreur.

15/15	0s 15ms/step - loss: 0.0043 - val_loss: 0.0042
Epoch 42/50	
13/13	0s 14ms/step - loss: 0.0043 - val_loss: 0.0042
Epoch 43/50	
13/13	0s 14ms/step - loss: 0.0043 - val_loss: 0.0042
Epoch 44/50	
13/13	0s 16ms/step - loss: 0.0043 - val_loss: 0.0042
Epoch 45/50	
13/13	0s 14ms/step - loss: 0.0043 - val_loss: 0.0042
Epoch 46/50	
13/13	0s 15ms/step - loss: 0.0043 - val_loss: 0.0042
Epoch 47/50	
13/13	0s 16ms/step - loss: 0.0043 - val_loss: 0.0042
Epoch 48/50	
13/13	0s 13ms/step - loss: 0.0043 - val_loss: 0.0042
Epoch 49/50	
13/13	0s 14ms/step - loss: 0.0043 - val_loss: 0.0042
Epoch 50/50	
13/13	0s 14ms/step - loss: 0.0043 - val_loss: 0.0042
15/15	0s 12ms/step

## 5. Évaluation

Métrique : **MAE**. Seuil :  $\mu + 2,5\sigma = 0,0113$ .

Courbes d'entraînement et de validation convergent rapidement (figure 2), traduisant une bonne généralisation sans sur-apprentissage.

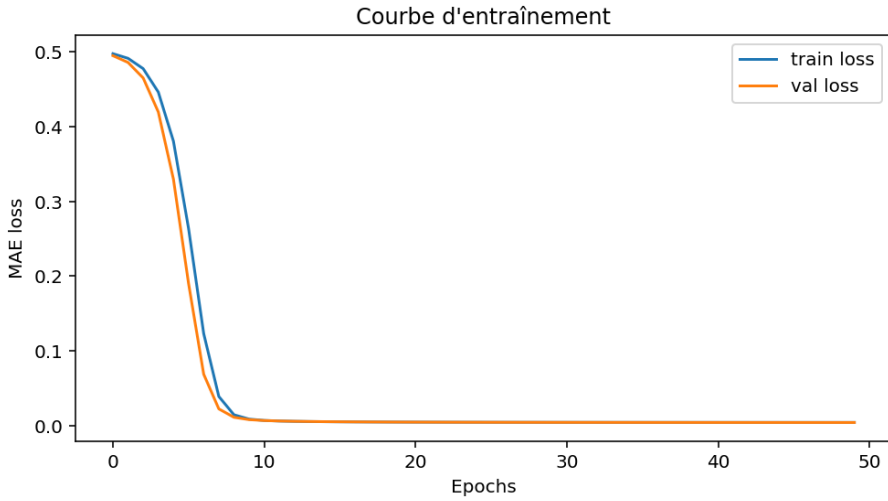


FIGURE 2 – Courbe d’entraînement et de validation (MAE)

Résultat : 1 anomalie détectée dans le jeu de test.

```
Seuil d'anomalie ( $\mu + 2.5\sigma$ ) : 0.011313328179179134
4/4                                     0s 17ms/step
Nombre d'anomalies détectées : 1
Fichier 'anomalies_detectees.csv' sauvegardé avec 1 anomalies.
```

## 6. Interprétation

L'anomalie (indice 98, loss = 0,0178) présente une reconstruction très éloignée de l'originale (figure 3), confirmant le comportement anormal.

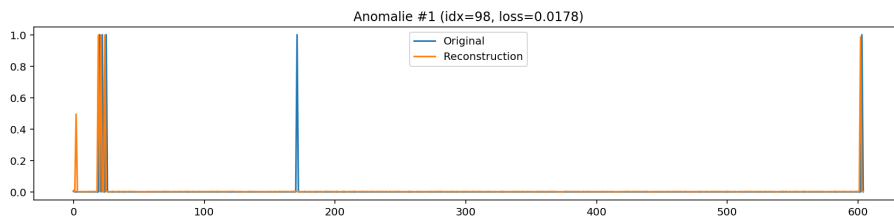


FIGURE 3 – Comparaison originale / reconstruction pour l'anomalie détectée

## 7. Choix des paramètres

- **Bottleneck = 4** : compacité suffisante, évite le sur-apprentissage.
- **Seuil = 2,5  $\sigma$**  : compromis sensibilité / faux positifs.

## Conclusion

L'Autoencoder permet une détection fiable d'anomalies dans des logs non étiquetés. Les exports CSV sont déjà fonctionnels ; une surveillance en temps réel est prévue dans la suite du projet SurveillAPI.